

МОДУЛИ ЮНГА, СДВИГА И КОЭФФИЦИЕНТЫ ПУАССОНА  
НИЗШИХ СИЛИЦИДОВ ЖЕЛЕЗА, МАРГАНЦА  
И ТВЕРДЫХ РАСТВОРОВ ( $Fe_{1-x}Mn_x)_3Si$ )

Л. Ф. Луцкая

Изучены модули Юнга, сдвига и коэффициенты Пуассона низших силицидов железа и марганца, а также твердых растворов ( $Fe_{1-x}Mn_x)_3Si$  с  $x=0.2, 0.67, 0.834$  между 20 и 300 К. Аномальные изменения упругих модулей при критических температурах зависят от состава препарата. В сплавах с  $x=0.2, 0.67, 0.834$  магнитострикция связана как с обменными, так и с магнитными взаимодействиями. Из изученных твердых растворов наибольший вклад энергии кристаллографической магнитной анизотро-

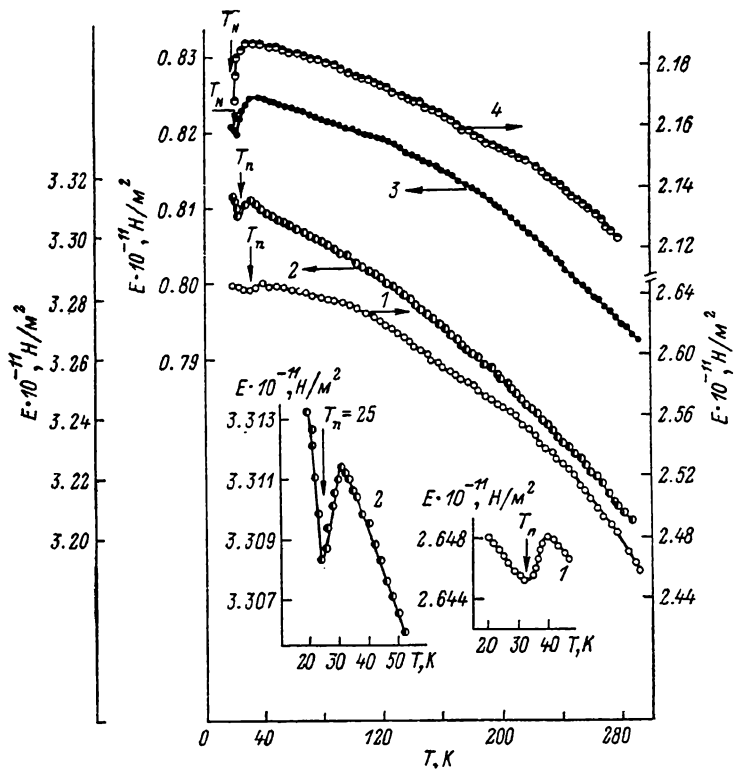


Рис. 1. Политеормы модуля Юнга твердых растворов ( $Fe_{1-x}Mn_x)_3Si$ .  
x: 1 — 0, 2 — 0.2, 3 — 0.834, 4 — 1.

тии в полную энергию кристалла имеет место у препарата ( $Fe_{0.33}Mn_{0.67})_3Si$ , а больший вклад энергии обменного взаимодействия наблюдается при температуре Нееля в образце с  $x=0.834$ . Результаты исследования упругих модулей низших силицидов железа, марганца и твердых растворов ( $Fe_{1-x}Mn_x)_3Si$  с  $x=0.2, 0.67, 0.834$  подтверждают критические температуры превращений и их сложную магнитную структуру.

Для получения дополнительной информации о характере переходов в сплавах, близких по составу к  $Fe_3Si$  и  $Mn_3Si$ , для уточнения критических температур превращений изучались температурные зависимости от 20 до 300 К модулей Юнга, сдвига и коэффициентов Пуассона в образцах ( $Fe_{1-x}Mn_x)_3Si$  с  $x=0, 0.2, 0.67, 0.834, 1$ . Настоящая работа является продолжением исследований [1]. Методика приготовления образцов и их

аттестация были теми же, что и в [2]. Измерение скоростей ультразвука осуществлялось резонансным методом на установке, описанной ранее [3].

По результатам экспериментального исследования скоростей ультразвуковых волн [4] рассчитаны изотропные упругие модули по известным соотношениям [5]

$$G = \rho v_t^2, \mu = \frac{2 - \left(\frac{v_l}{v_t}\right)^2}{2 \left[1 - \left(\frac{v_l}{v_t}\right)^2\right]},$$

$$E = 2G(1 + \mu),$$

$G$  и  $E$  — модули сдвига и Юнга,  $\mu$  — коэффициент Пуассона,  $\rho$  — плотность образца,  $v_l$  и  $v_t$  — продольные и поперечные скорости ультразвука в образце.

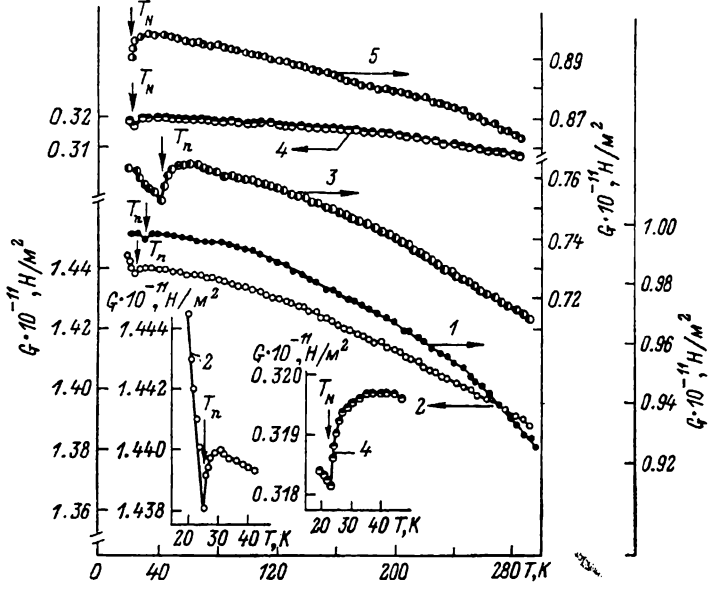


Рис. 2. Температурные зависимости модулей сдвига твердых растворов  $(Fe_{1-x}Mn_x)_3Si$ .  
1 — 0, 2 — 0.2, 3 — 0.67, 4 — 0.834, 5 — 1.

Как видно из результатов исследований (рис. 1, 2), на политетрах  $E(T)$  и  $G(T)$  в препаратах с  $x=0.2, 0.67, 0.834$  и  $1$  наблюдаются аномалии при температурах  $25, 43, 23$  и  $21$  К соответственно. На политетрах модуля Юнга для  $Fe_3Si$  имеется небольшой минимум вблизи  $33$  К.

Коэффициенты Пуассона (рис. 3) отличаются своеобразными температурными зависимостями. На политетрах  $\mu(T)$  перегибы кривых обнаруживаются не только вблизи критических температур. Так, для  $Fe_3Si$  температурная зависимость  $\mu(T)$  достаточно слабая, а вид политетра «волнообразный» с максимумом вблизи  $40$  К. Для твердого раствора с  $x=0.2$  при  $T=T_n$  значение коэффициента Пуассона минимально.

Рассмотрим несколько подробнее температурно-концентрационные зависимости упругих модулей в изученных сплавах. Оценочные расчеты относительных изменений («скакков») модулей Юнга  $\Delta E/E$  вблизи температуры перестройки магнитного порядка ( $T_n$ ) для образца с  $x=0.2$  и вблизи температуры Нееля ( $T_N$ ) для сплава с  $x=0.834$  равны соответственно  $0.15$  и  $0.87$  %. На температурных зависимостях модулей сдвига (рис. 2) в сплавах с  $x=0.2, 0.67$  при  $T_n$  и в образце с  $x=0.834$  при  $T_N$  имеют место «скакки», соответственно достигающие  $0.4$  %,  $1.6$  % и  $0.6$  %. Из полученных результатов следуют выводы. 1) В сплавах с  $x=0.2, 0.67, 0.834$  магнитострикция связана как с обменными, так и с магнитными взаимо-

действиями. 2) Из изученных твердых растворов  $(Fe_{1-x}Mn_x)_3Si$  наибольший вклад энергии кристаллографической магнитной анизотропии в полную энергию кристалла имеет место у сплава  $(Fe_{0.33}Mn_{0.67})_3Si$ . Для него «скакок» модуля сдвига на политерме  $G(T)$  самый большой и равен (при  $T_n$ ) 1.6 %. Кроме того, в этом образце перестройка магнитной структуры сопровождается искажением кристаллической структуры [6-8]. 3) Большой вклад энергии обменного взаимодействия в общую энергию кристалла наблюдается при  $T=T_N$  в образце с  $x=0.834$  (наибольший «скакок» модуля Юнга на политерме  $E(T)$  составляет 0.87 %).

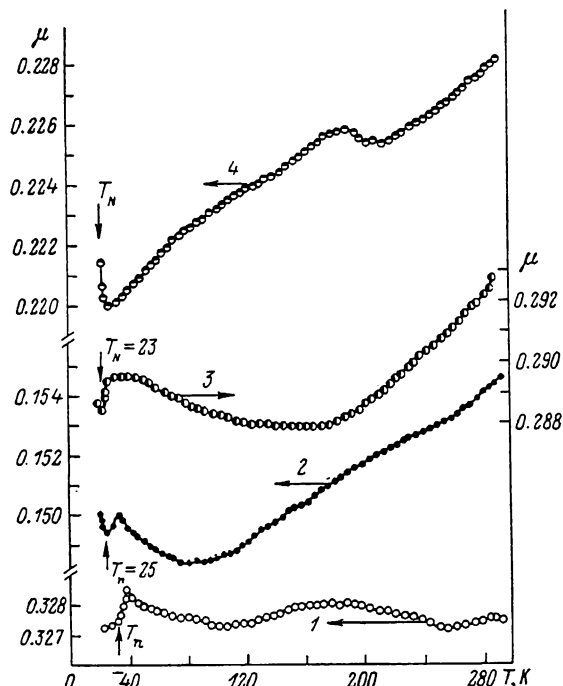


Рис. 3. Политермы коэффициента Пуассона твердых растворов  $(Fe_{1-x}Mn_x)_3Si$ .  
x: 1 — 0, 2 — 0.2, 3 — 0.834, 4 — 1.

Аномальное поведение модуля Юнга в температурном интервале от 23 до 40 К в низшем силициде железа указывает на изменение энергии обменного взаимодействия, которое ответственно за магнитный порядок спинов.

Для препарата  $(Fe_{0.8}Mn_{0.2})_3Si$  на характер изменения зависимости  $\mu(T)$  оказывает влияние перестройка магнитного порядка при  $T_n$ . Так как поперечная деформация (от которой зависит величина  $\mu$ ) своим возникновением обязана действию внутренних сил межатомных связей в кристалле [9], то, возможно, с их изменением (при увеличении температуры) и связано непостоянство коэффициента Пуассона у твердых растворов  $(Fe_{1-x}Mn_x)_3Si$  с  $x=0, 0.834, 1$ .

Результаты настоящих исследований упругих модулей низших силицидов железа, марганца и твердых растворов  $(Fe_{1-x}Mn_x)_3Si$  с  $x=0.2, 0.67, 0.834$  подтверждают критические температуры превращений и их сложную магнитную структуру.

#### Л и т е р а т у р а

- [1] Луцкая Л. Ф. ФТТ, 1985, т. 27, № 3, с. 652—655.
- [2] Луцкая Л. Ф., Андреева Л. П., Гельд П. В. УФЖ, 1977, т. 22, № 4, с. 591—595.
- [3] Зиновьев Г. П., Андреева Л. П. В кн.: Физические свойства металлов и сплавов. Свердловск, Труды УПИ им. С. М. Кирова, № 231, 1971, с. 119—120.

- [4] Луцкая Л. П., Андреева Л. П. Межвузовский сборник «Физические свойства металлов и сплавов». Свердловск: Изд-во УПИ им. С. М. Кирова, 1981. 32 с.
- [5] Жданов Г. С. Физика твердого тела. М.: Изд-во МГУ, 1961. 166 с.
- [6] Yoon S., Booth J. G. Phys. Lett., 1974, vol. 48A, с. 381—382.
- [7] Сидоренко Ф. А., Верещагин Ю. А., Бабанова Е. Н. ЖЭТФ, 1976, т. 70, № 2, с. 628—638.
- [8] Yoon S., Booth J. G. J. Phys. F: Met. Phys., 1977, vol. 7, N 6, p. 1079—1095.
- [9] Иванов Г. П., Лебедев Т. А. Труды Ленинградского политехнического института, № 236, 1964, с. 38—40.

Омский политехнический институт  
Омск

Поступило в Редакцию  
21 июля 1987 г.  
В окончательной редакции  
4 ноября 1987 г.

УДК 537.226

Физика твердого тела, том 30, в. 3, 1988

Solid State Physics, vol. 30, № 3, 1988

## ПЬЕЗОРЕЗОНАНСНЫЕ И ДИЭЛЕКТРИЧЕСКИЕ ИССЛЕДОВАНИЯ НЕСОРАЗМЕРНОЙ ФАЗЫ В КРИСТАЛЛЕ $\text{NH}_4\text{HSeO}_4$

B. M. Зражевский

Кристаллы гидроселената аммония  $\text{NH}_4\text{HSeO}_4$  при комнатной температуре имеют моноклинную структуру  $B2$  ( $I2$  в псевдоромбической установке) [1]. При  $T_{c1}=250$  К происходит сегнетоэлектрический фазовый переход [2, 3], структура становится триклиновой  $B1$  ( $I1$ ) [4]. При  $T_{c2}=-100$  К спонтанная поляризация скачком исчезает. Известен также высокотемпературный переход в состояние с высокой ионной подвижностью [5]. В ряде работ [6—9] сообщалось о существовании фазового перехода при  $T_i=260$  К. По данным ЯМР [10], фаза между  $T_i=260$  К и  $T_{c1}=250$  К является несоразмерной. Исследования [11, 12] диэлектрической проницаемости вдоль полярной оси обнаружили гистерезисные явления, также характерные для кристаллов с несоразмерной фазой [13].

Анализ проведенных нами исследований [14] температурных зависимостей скоростей упругих волн в  $\text{NH}_4\text{HSeO}_4$  также показывает, что их поведение является типичным для кристаллов с несоразмерной фазой [15]. Так, в области  $T_i$  скорость продольных волн  $V_{[010]}$  по полярной оси аномально уменьшается, на некоторых температурных зависимостях скоростей продольных и поперечных волн наблюдаются изломы. В области сегнетоэлектрического фазового перехода ведет себя аномально скорость поперечной волны  $V_{[001][010]}$ , распространяющейся по оси второго порядка с поляризацией по полярной оси. Вследствие сильного поглощения этой волны измерения вблизи  $T_{c1}$  импульсным ультразвуковым методом оказались невозможными. Поскольку кристалл  $\text{NH}_4\text{HSeO}_4$  является пьезоэлектриком в парафазе, нами были проведены пьезорезонансные исследования.

Использовался резонатор  $45^\circ$ — $X$ -среза длиной  $\sim 17.6$  мм, у которого резонансная частота  $f_R$  определяется эффективной константой упругой податливости

$$s'_{22} = \frac{1}{4} (s_{22} + s_{33} + s_{44} + 2s_{23}).$$

В данной установке ось второго порядка параэлектрической фазы параллельна  $Z$ , а спонтанная поляризация в сегнетофазе направлена вдоль  $Y$ . Измерения проводились со стабилизацией температуры, скорость изменения температуры вблизи переходов составляла  $\sim 0.05$  К/мин.